

Gliederung

Einführung

Bildabtastung und Digitalisierung

Technische Komponenten

Grauwertstatistik

Punktoperatoren

Lokale Operatoren

Globale Operatoren

Merkmalsextraktion

Klassifikation

Codierung

Technische Komponenten

Gliederung

1. Einführung / Motivation
2. Datenreduktion durch Digitalisierung und Binarisierung
3. Lauflängencodierung
4. Freeman Code und Konturfolgeverfahren
5. Differenz-Codierung
6. Quadtree-Codierung
7. Huffman-Codierung
8. Arithmetische Codierung
9. Transformationscodierung
 - 9.1 Art und Algorithmus der Transformation
 - 9.2 JPEG und MPEG
 - 9.3 Ablauf der JPEG-Codierung

1. Einführung / Motivation

Motivation zur Durchführung von Datenreduktionen

Vergleich des Speicherplatzbedarfes für Text-, Bild-, Audio-, Video-Dateien:

➤ **Text:**

Frage: Wieviel Seiten Text kann eine 3,5 Zoll-Diskette (1,4 Mbyte) speichern bei 60 Zeichen/Zeile und 30 Zeilen/Seite ?

Lösung:

1,4 Mbyte = $1,4 \cdot 1024 \cdot 1024$ Byte = $1468006,4 / 60 / 30 =$ **815 Seiten**

➤ **Farbbild 1:**

Wieviel Speicherplatz benötigt ein Farbbild in PAL –Norm (768x576 Pixel) mit 8 Bit / Farbe im RGBModus?

Lösung:

$768 \times 576 \times 3$ Byte (24Bit) = 1327104 Byte = 1296 kByte = **1,26 Mbyte**

➤ **Videosequenz 1 Sekunde (PAL):** = $1,26$ Mbyte \times 25 Vollbilder = **31,6 Mbyte**

➤ **Audio 1 Sekunde:** CD-Qualität (Abtastung 44 kHz), Stereo, 16 Bit Quantisierung
= 44 kHz \times 2 Kanäle \times 2 Byte = **176 kByte**

Motivation zur Durchführung von Datenreduktionen / Forts.

Vergleich des Speicherplatzbedarfes für Text-, Bild-, Audio-, Video-Dateien

Farbbild 2:

Ein (DIN)-A4- Farbbild in 600 ppi x 600 ppi – Auflösung im RGB-Modus (8 Bit /Farbe) liefert eine Datenmenge von: (DIN A4 (297 x 210 mm²) ; 1 inch = 2,54 cm) = 11,88 inch x 8,4 inch x 600 ppi x 600 ppi x 3 Byte
= 107.775.360 Byte = 105.249 kByte = **102,8 MByte**

Farbbild 3:

Geldschein 10 Euro mit 2400 ppi x 2400 ppi in RGB (8 Bit/Farbe) gescannt: = **215 Mbyte**

Motivation zur Durchführung von Datenreduktionen / Forts.

Beispiele DVD-Video

- Wieviel Minuten Video würde eine DVD5 (4,7 GByte, 1 Seite, 1 Schicht) im PAL-Format (768 x 576 x 25 Bilder/s , bei 8 Bit/Farbe im RGB-Modus) unkomprimiert aufnehmen können?

Lösung:

1 s Video unkomprimiert PAL (768x576x 25 x 8Bit/Farbe) = 31,6 MByte (siehe oben)

31.6 Mbyte/s = 31,6/1024 Gbyte/s = 0,0308 GByte/s

Zeit [min] = 4,7 GByte / 0,0308 GByte/s = 152.6 s = **2,54 Minuten !**

- Wie hoch muß die Kompression sein, damit 4h Video in PAL auf eine DVD5 (4,7 GByte) passen?

Lösung: 4h = 4*3600 s = 14400s

Kompressionsfaktor 14400 / 152,6 = **94,36**

- Wieviel Minuten Video fasst eine DVD5 (4,7Gbyte) im DVD-Longplay (MPEG2, 4 MBit/s)?

Lösung:

Zeit[min] = DVD-Kap [GByte] / Datenrate [GByte/min]

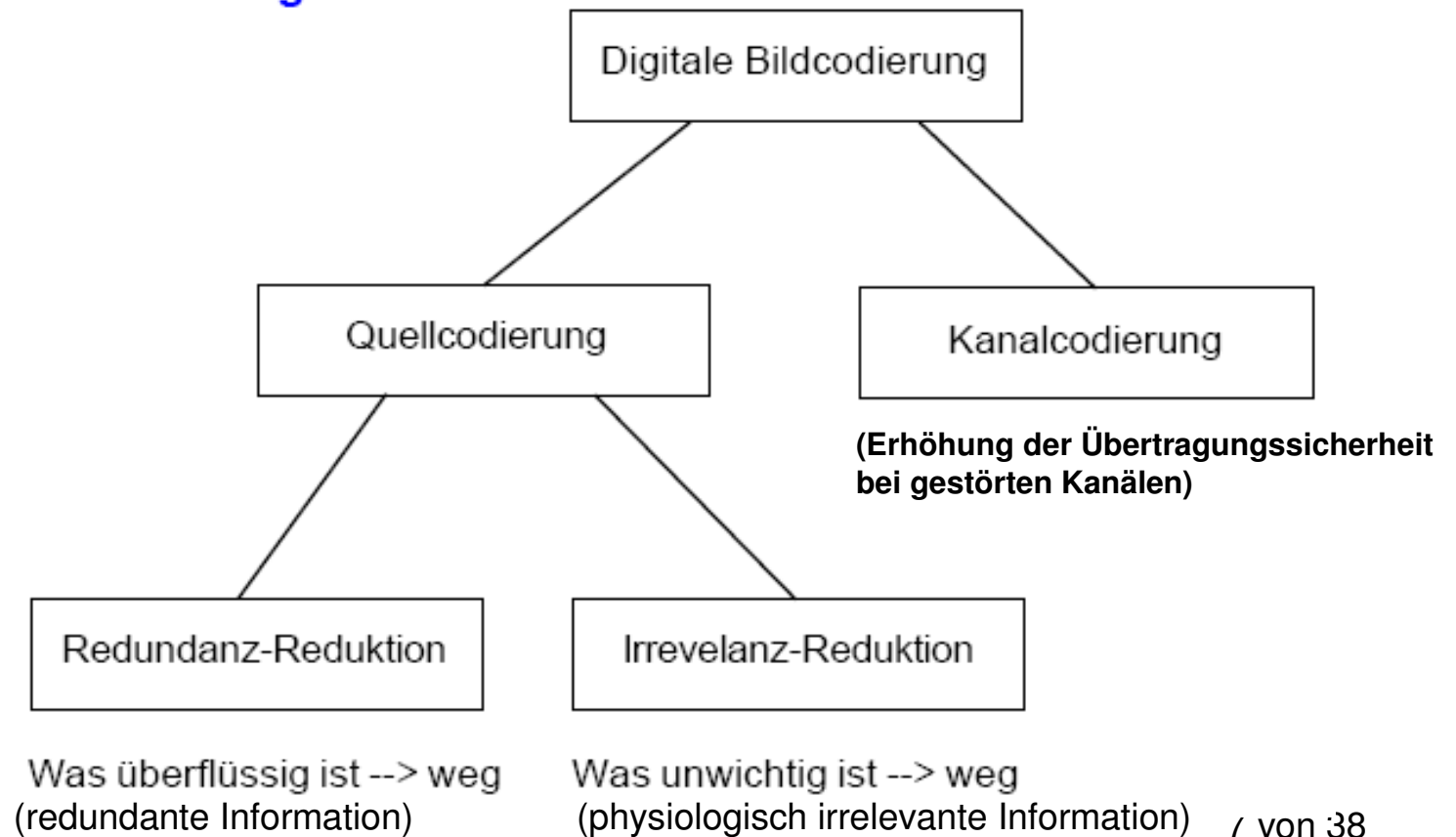
= DVD-Kap. [GByte] / (Datenrate [MBit/s]x60[Min] / 8 [MByte/s] /1024[GByte])

= 4,7 GByte *8 * 1024/ 4 MBit/s *60 = **160 Minuten**

Notwendigkeit der Datenreduktion mit dem Ziel

- a) der platzsparende Speicherung
 - b) einer schmalbandige Bildübertragung
- jeweils bei Erhalt des visuellen Eindrucks bzw. relevanter Informationen und/oder verlustlose Kompression bei speziellen Bildern

Einordnung



Arten der Datenreduktion

Redundanzreduktion

- RLC
- Freeman
- Quadtree
- Differenzbildcodierung (DPCM)
- Pyramiden
- Huffman
- arithmetische Codierung
- Transformationscodierung
- JPEG
- MPEG
- Wavelet
- Fraktale

Irrelevanzreduktion

- Kontrastempfinden
- Richtungempfinden
- Verdeckungseffekt
- Textur-Effekt
- Frequenzgangempfindlichkeit
- Auflösungsvermögen

2. Datenreduktion durch Digitalisierung und Binarisierung

1. Digitalisierung

1. Datenreduktionsstufe

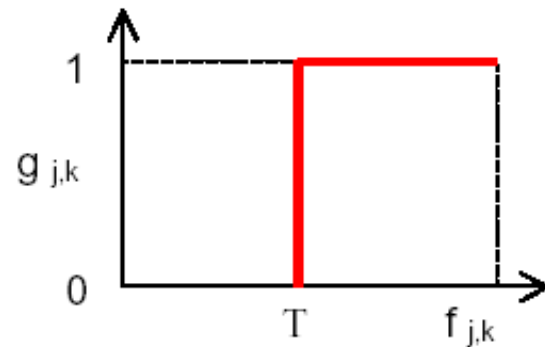
Aus einer unendlichen Info-Menge

--> durch Rasterung u. Quantisierung --> endl. Info-Menge

--> **Abtasttheorem!**

2. Binarisierung

Aus GW-Bild wird Binärbild



$$g_{j,k} = \begin{cases} 1 & \text{für } f_{j,k} \geq \text{Schwelle } T \\ 0 & \text{sonst} \end{cases}$$

z. B. GW-Bild 512 x 512 Pixel x 8 Bit = 256 kByte
Binärbild = 32 kByte

Verlustbehaftet – unumkehrbar!

3. Lauflängencodierung

Beispiel:

Die 34. Zeile eines Binärbildes trägt folgende Information:

0 0 0 0 0 1 1 1 1 1 0 0 0 0 1 1 1 0 0 0 0 0 0

bessere Darstellung: (6x0),(5x1),(5x0),(3x1),(7x0)

RLC (Variante): (6:5),(16:3) → hier: Position und Länge der „1“-Blöcke

verlustlos !



3. Lauflängencodierung

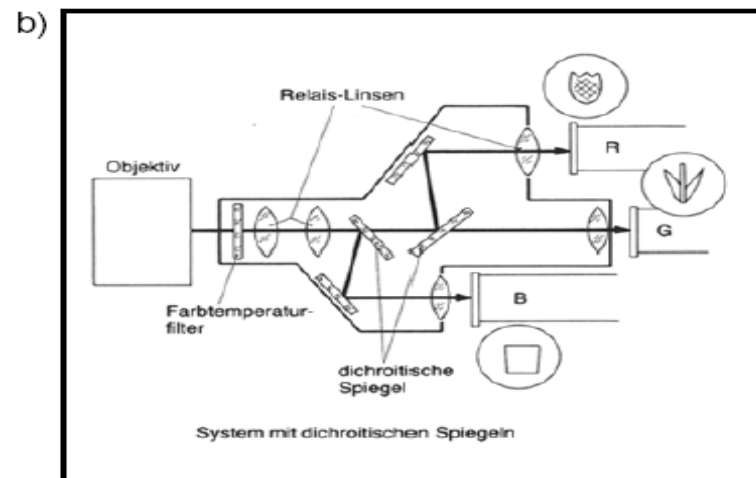


Beispiele zur Lauflängencodierung von Binärbildern

Bildgröße 512 x 512 Pixel (normale Speicherung 1 Bit / Pixel --> 32 kByte)

Lauflängencodierung mit 3 Byte / Kette

- a) 5,97 kByte, Kompressionsfaktor 0,19
- b) 19,20 kByte, -" 0,6
- c) 34,53 kByte, -" 1,08



c)

Die Effektivität der Lauflängencodierung Bildern, in denen sich die Bildbereiche ergeben sich wenige Ketten pro Zeile, Zur Kodierung von feingliedrigen Bildern kurze Ketten notwendig, was einen ungü 5.5 zeigt drei Beispiele zur Lauflängenc 512 x 512 Bildpunkte, die bei einer nor KByte benötigen. In der Lauflängencodi 5.97 KByte, der Ausschnitt aus einer Str Textausschnitt in Bild 5.5-c 34,53 KByte 0,60 und 1,08. Es ist offensichtlich, daß Lauflängencodierung mit 3 Byte / Kette Lauflängencodierung von Binärbildern

Lauflängencodierung von GW-Bildern, z. B.:

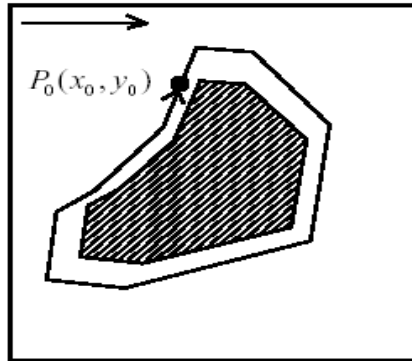
→ (vorlaufende Nullen, GW), sinnvoll bei sehr vielen Nullen im GW-Profil

Beliebige Zeile: 0 0 0 0 15 0 0 0 3 7 5 0 0 0 0 2

Code (4,15) (3,3) (0,7) (0,5) (4,2)

4. Konturfolge-Verfahren

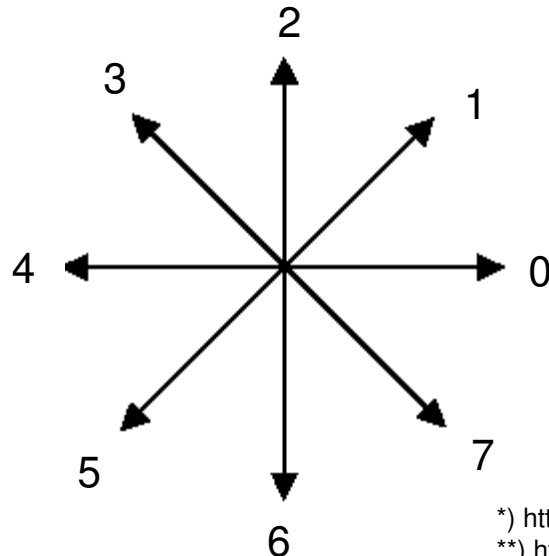
Binärbild



inhomogen, sequentiell

Vorgehensweise

1. Durchsuchen des Bildes nach Konturpunkten
Abstand Suchzeilen = 1 oder >1
2. Erster gefundener Konturpunkt
= 1 → Startpunkt
3. Konturverfolgungsalgorithmus z.B. nach Pavlidis, siehe *) und **)
4. Abspeicherung FREEMAN-Code
5. Algorithmus liefert Objektkontur, gleichzeitig können Primärmerkmale generiert werden → siehe Merkmalsextraktion



Verlustlos !

zum Beispiel:

Startpunkt $P_0(55,22)$;
7744411122223333444777.....

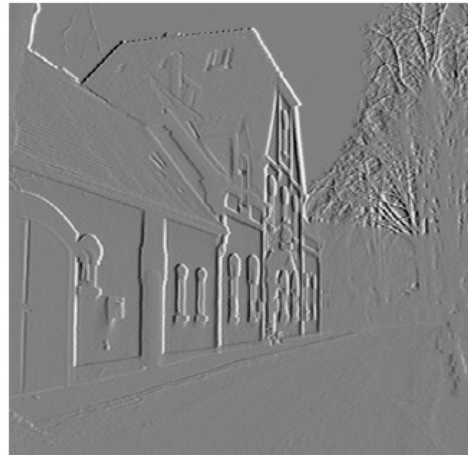
*) <http://www.fbm.fh-darmstadt.de/home/heckenkamp/bv1/vorlesung/konts/konturverfolgung.html>

***) http://www.fbm.fh-darmstadt.de/home/heckenkamp/bv1/vorlesung/konturcode/bv1_6.html#pcode

5. Differenzcodierung



Original



Differenzbild

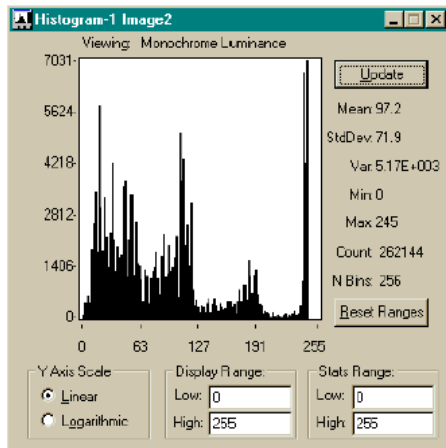
Neuer Grauwert ergibt sich z.B. jeweils als Differenz zum linken Nachbarpixel (reihenweise Differenzbildung)



Einfache Teststruktur
links: Original

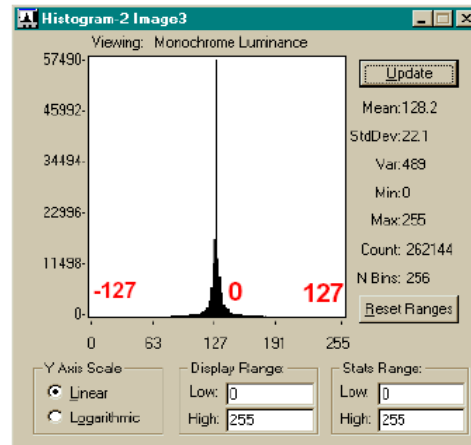


rechts: Differenzbild



Histogramm zum Originalbild

Entropie = 7,6



Histogramm zum Differenzbild

Entropie = 5,8

Verlustlos !

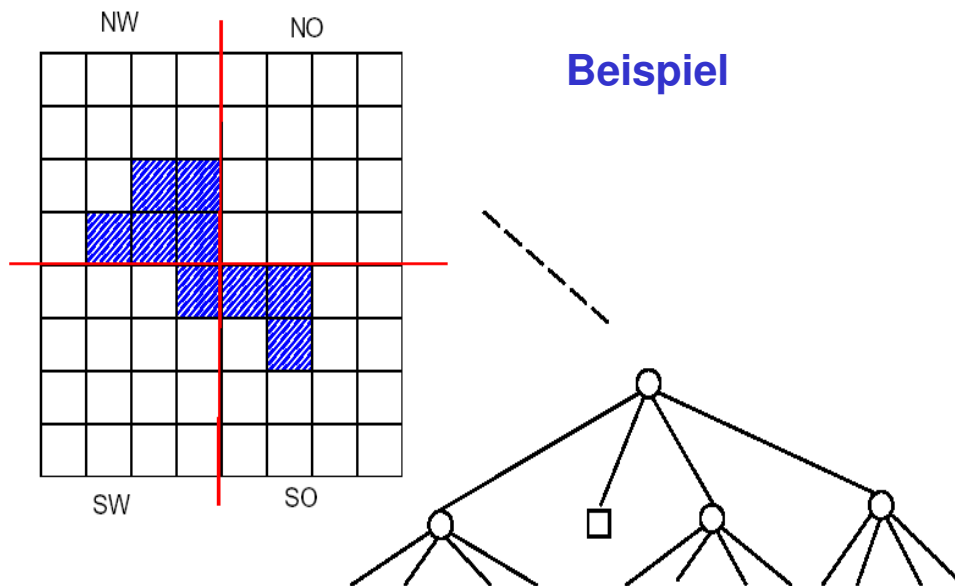
6. Quadtree-Codierung

Prinzip:

Untersuch. des Bildes auf homogene Gebiete → effektive Abspeicherung dieser Gebiete

Ablauf:

1. Gesamtbild = Wurzel
2. Einteilung des Bildes → 4 Teilbilder (NW,NO,SW,SO) → Knoten (Äste)
3. Untersuchung auf homogene Gebiete
 - homogen: Abspeicherung als Blatt (Untergrund = 0, Objekt = 1)
 - inhomogen: Abspeicherung als neuer Knoten, erneute Einteilung in 4 Teilbilder usw.



Quadtree-Notierung

1. Durchquerung des Quadtree von links → rechts
2. Abstieg → Klammer auf '(' oder auch übl.: 'q('
3. Aufstieg → Klammer zu ')'
4. Untergrund → 0
5. Objektpixel → 1

Quadtree-Code:

q(1q(0 01q(1111)1q(0010))01q(...

Vervollständigen Sie Codebaum und Code!

7. Huffman-Codierung

Vergleich der Codewortlängen von ASCII-, Morse- und Huffman-Code für Buchstabenverteilungen aus englischen Texten

| Zeichen | Wahrsch. | ASCII-Code | Morse-Code | Huffman-Code |
|---------|----------|------------|------------|--------------|
| Leerz. | 0.1859 | 00100000 | space | 000 |
| A | 0.0642 | 01000001 | 01 | 0100 |
| B | 0.0127 | 01000010 | 1000 | 0111111 |
| C | 0.0218 | 01000011 | 1010 | 11111 |
| D | 0.0317 | 01000100 | 100 | 01011 |
| E | 0.1031 | 01000101 | 0 | 101 |
| F | 0.0208 | 01000110 | 0010 | 001100 |
| G | 0.0152 | 01000111 | 110 | 011101 |
| H | 0.0467 | 01001000 | 0000 | 1110 |
| I | 0.0575 | 01001001 | 00 | 1000 |
| J | 0.0008 | 01001010 | 0111 | 0111001110 |
| K | 0.0049 | 01001011 | 101 | 01110010 |
| L | 0.0321 | 01001100 | 0100 | 01010 |
| M | 0.0198 | 01001101 | 11 | 001101 |
| N | 0.0574 | 01001110 | 10 | 1001 |
| O | 0.0632 | 01001111 | 111 | 0110 |
| P | 0.0152 | 01010000 | 0110 | 011110 |
| Q | 0.0008 | 01010001 | 1101 | 0111001101 |
| R | 0.0484 | 01010010 | 010 | 1101 |
| S | 0.0514 | 01010011 | 000 | 1100 |
| T | 0.0796 | 01010100 | 1 | 0010 |
| U | 0.0228 | 01010101 | 001 | 11110 |
| V | 0.0083 | 01010110 | 0001 | 0111000 |
| W | 0.0175 | 01010111 | 011 | 001110 |
| X | 0.0013 | 01011000 | 1001 | 01110011000 |
| Y | 0.0164 | 01011001 | 1011 | 001111 |
| Z | 0.0005 | 01011010 | 1100 | 0111001111 |

Verfahren

Codelänge eines Zeichens (eines Grauwertes) ist umgekehrt proportional zur Wahrscheinlichkeit seines Auftretens

Beispiel: Für ein 2 Bit -Bild (GW: 0, 1, 2, 3) gelten folgende statistischen Eigenschaften:

| GW | p(g) | Binär-code | Huffman-code | p(g) x Huffmanlänge |
|-----------------|------|------------|-------------------|---------------------|
| 0 | 0,87 | 00 | 1 | 0,87 |
| 1 | 0,06 | 01 | 00 | 0,12 |
| 2 | 0,03 | 10 | 010 | 0,09 |
| 3 | 0,04 | 11 | 011 | 0,12 |
| durchschn. 2Bit | | | durchschn. 1,2Bit | |

Kompression = Original/Huffman = 2Bit/ 1,2 Bit = **1,67 !**
Verlustlos !

8. Arithmetische Codierung

Arithmetische Codierung

1. Völlig andere Codierungsmethode
2. Effektivste Codierung, aber höchste Komplexität
3. Nachteil von Huffman: Bitlängen entsprechen nicht exakter Wahrscheinlichkeit. (da keine Bruchteile von Bits „investiert“ werden)
4. Die Arithmetische Codierung löst Problem, indem Zeichensequenz im Intervall $[0, 1)$ dargestellt wird. z.B.: 0,75 --> Null weglassen --> 75
5. Codierung erfolgt in Abhängigkeit von vergangenen Zeichen und Wahrscheinlichkeit $p(a)$.
6. Optimale (nahezu) Codierung
7. Nachteil: --> kein wahlfreier Zugriff

Idee:

1. Codiere durch ein Intervall $[l, r]$ r/l , mit $0 \leq \lambda \leq 1$
2. Zerlege Intervall $[0, 1]$ in paarweise disjunkte Teilintervalle $[l_a, r_a]$ für jedes Zeichen a .

$$r_a - l_a = p(a)$$

Codierungs-Algorithmus:

```
l:=0.0; r:=1.0;
  repeat
    read (a);
    p:=r-l;
    l:=l+p*a;
    r:=l+p*r;
  until a=='EOF';
Ergebnis: l;
```

p: Intervall

Beispiel 1:

Das Alphabet besteht aus den Zeichen A, B, C mit den Wahrscheinlichkeiten $p(A)=0.5$; $p(B)=0.3$; $p(C)=0.2$.

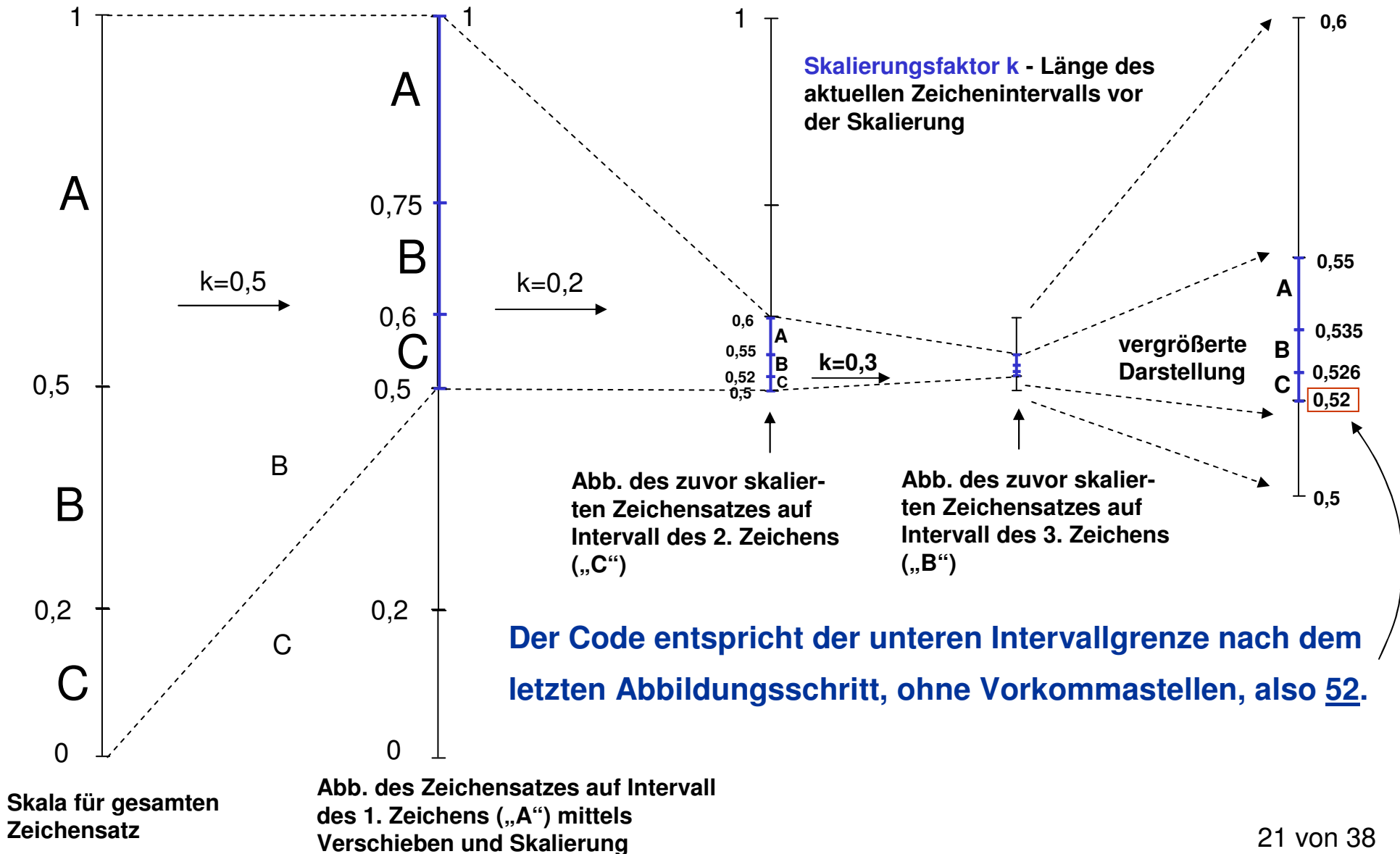
Eine Sequenz ACB wird dann auf ein Teilintervall in $p(A)$ darin in $p(C)$ und darin in $p(B)$ abgebildet.

| Zeichen | $p(a)$ | Intervall p |
|---------|--------|-------------|
| C | 0.2 | [0, 0.2] |
| B | 0.3 | [0.2, 0.5] |
| A | 0.5 | [0.5, 1.0] |

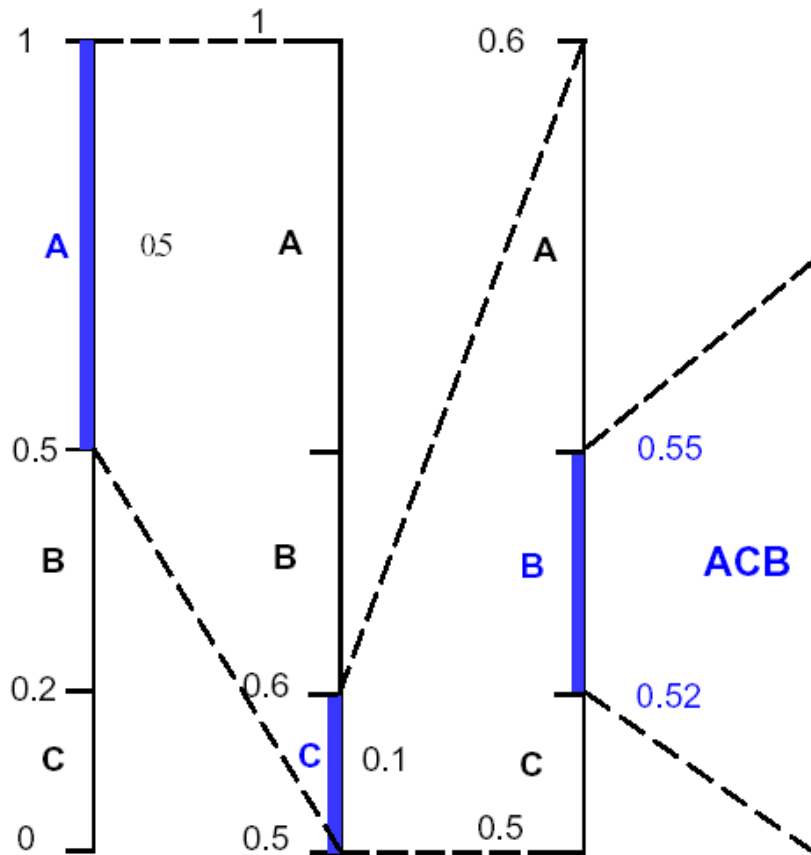
Codierungs-Algorithmus:

```
repeat  
read (a);  
p:=r-l;  
l:=l+p*la;  
r:=l+p*ra;  
until a=='EOF';  
Ergebnis: l;
```

Arithmetische Codierung – Schematischer Ablauf, dargestellt am Beispiel 1 zu codierende Zeichenfolge: 'ACB'



Arithmetische Codierung Beispiel 1: nochmal schematischer Ablauf, etwas anders dargestellt zu codierende Zeichenfolge: 'ACB'



Zeichenfolge ACB wird auf Teil-Intervall 0.52 - 0.55 abgebildet.

Ergebnis:0.52 -->Code 52

Durch Angabe eines beliebigen Wertes, der Element des Codeintervalls ist (beliebige Nachricht), läßt sich bei bekannter Wahrscheinlichkeit die Symbolfolge (Nachricht) wieder vollständig rekonstruieren.

Beispiel 2: Codierung von: RITTER?

| Zeichen | Wahrscheinlichkeit | Intervall p |
|---------|--------------------|--------------|
| a | $p(a)$ | $[l_a, r_a]$ |
| E | 0.5 | [0.0, 0.5] |
| I | 0.1 | [0.5, 0.6] |
| R | 0.1 | [0.6, 0.7] |
| T | 0.2 | [0.7, 0.9] |
| ? | 0.1 | [0.9, 1.0] |

l – linke (untere) Intervallgrenze

r – rechte (obere) Intervallgrenze

p - Intervallbreite (entspricht der Wahrscheinlichkeit)

nach Anwendung Codierungsalgorithmus:

| gelesen | l | r | $[l_a, r_a]$ p |
|---------|-----------------|---------|-------------------|
| | 0.0 | 1.0 | 1.0 |
| R | 0.6 | 0.7 | 0.1 |
| I | 0.65 | 0.66 | 0.01 |
| T | 0.657 | 0.659 | 0.002 |
| T | 0.6584 | 0.6588 | 0.0004 |
| E | 0.6584 | 0.6586 | 0.0002 |
| R | 0.65852 | 0.65854 | 0.00002 |
| ? | 0.658538 | 0.65854 | |

Ergebnis: I --> 0.658538

Code: 658538

Beispiel 3: Codierung von JENA

| Zeichen | Wahrscheinlichkeit | Intervall p |
|---------|--------------------|--------------|
| a | $p(a)$ | $[l_a, r_a]$ |
| A | 0.5 | $[0.0, 0.5]$ |
| E | 0.3 | $[0.5, 0.8]$ |
| J | 0.1 | $[0.8, 0.9]$ |
| N | 0.1 | $[0.9, 1.0]$ |

nach Anwendung Codierungsalgorithmus:

| gelesen | l | r | $[l_a, r_a]$ p |
|---------|-------|--------|-------------------|
| | 0.0 | 1.0 | 1.0 |
| J | 0.8 | 0.9 | 0.1 |
| E | 0.85 | 0.88 | 0.03 |
| N | 0,877 | 0,88 | 0,003 |
| A | 0,877 | 0,8785 | |

$(0.877, 0.8785)$

Ergebnis: l --> 0.877 Code: 877

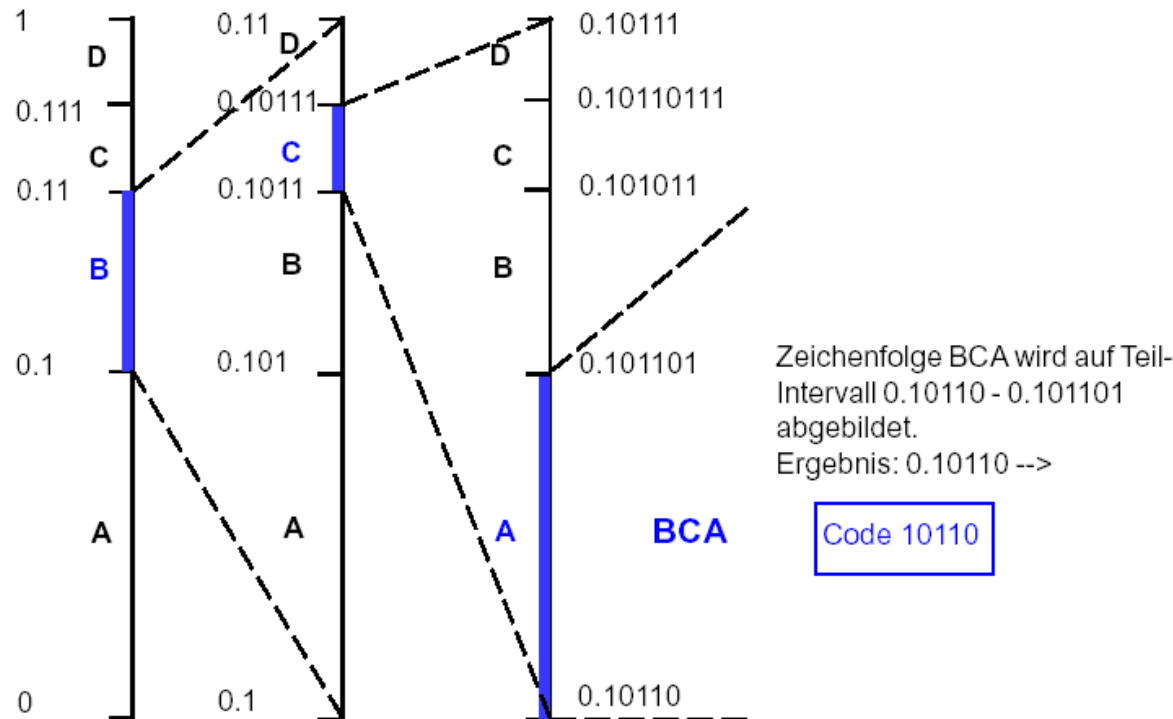
24 von 38

Beispiel(4):

Gegeben ist das Alphabet mit den Wahrscheinlichkeiten
 $p(A)=0.5$, $p(B)=0.25$, $p(C)=0.125$, $p(D)=0.125$.

Gesucht: Binäre Darstellung der Sequenz **BCA**

| Zeichen | $p(a)$ | $p(a)$ Stellen/Basis2 | $p(a)$ binär | Intervall p [l_a , r_a] | Subintervalle von B | Subintervalle von BC |
|---------|--------|--------------------------|-----------------|------------------------------------|------------------------|-------------------------|
| D | 0,125 | 2-3 | 0.001 | [0.111, 1] | [0.10111, 0.11] | [0.10110111, 0.10111] |
| C | 0,125 | 2-3 | 0.001 | [0.11, 0.111] | [0.1011, 0.10111] | [0.1011011, 0.10110111] |
| B | 0,25 | 2-2 | 0.01 | [0.1, 0.11] | [0.101, 0.1011] | [0.101101, 0.1011011] |
| A | 0,5 | 2-1 | 0.1 | [0, 0.1] | [0.1, 0.101] | [0.10110, 0.101101] |



Vergleich: Huffmancode

| | p(g) | Huffman |
|---|-------|---------|
| A | 0,5 | 0 |
| B | 0,25 | 10 |
| C | 0,125 | 110 |
| D | 0,125 | 11 |

BCA --> **Code: 101100**

9. Transformationscodierung

9.1 Art und Algorithmus der Transformation

Ansatz: Transformation des Bildes vom Ortsbereich → Ortsfrequenzbereich

z. B. Fouriertransformation: Zeitbereich → Frequenzbereich

Bildverarbeitung: Ortsbereich → Ortsfrequenzbereich → gleicher Informationsgehalt!
Effektiver, mit geringer Blockbildung als DFT ist die **DCT (Diskrete Cosinus Transformation)**

Für die 1D - DCT von 8 Signalwerten einer Zeile gilt:

$$C_{(u)} = \frac{1}{2} C_u \sum_{x=0}^7 f(x) * \cos \frac{(2x+1)u\pi}{16}$$

u: DCT-Koeffizienten
f(x): Signalwert

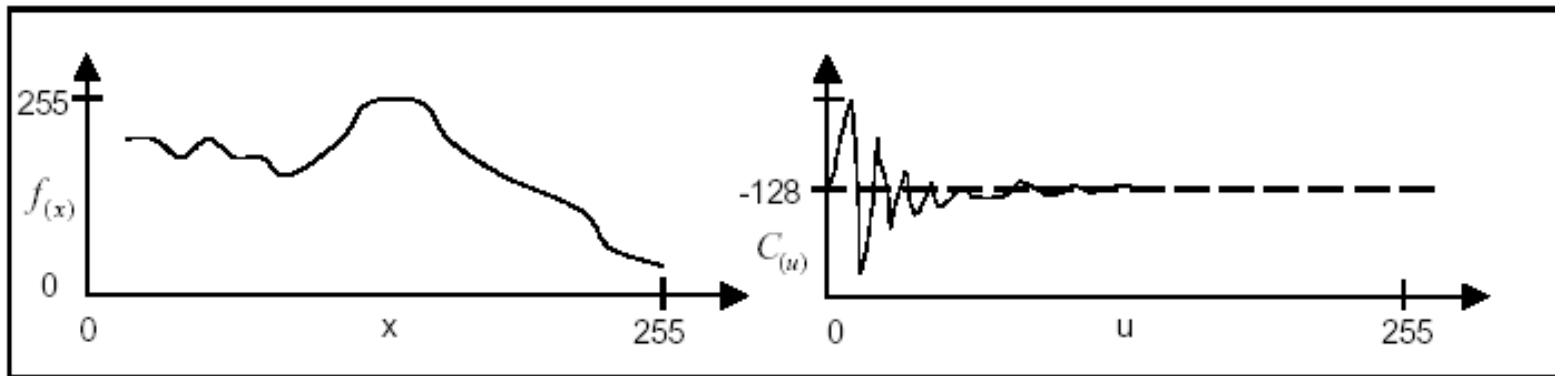
Für die inverse DCT gilt:

$$f(x) = \frac{1}{2} \sum_{u=0}^7 C_U * C_{(u)} * \cos \frac{(2x+1)u\pi}{16}$$

$$C_U = 1/\sqrt{2} \quad \text{für } u = 0$$

$$C_U = 1 \quad \text{für } u = 1...7$$

Effekt der 1D – DCT:



Transformation verlustlos!

Zunächst aber **keine Datenreduktion!**

Erst durch Quantisierung der DCT-Koeffizienten unter Ausnutzung des psychovisuellen Modell des Menschen + Anwendung der RLC und der VLC (Huffman-Codierung).

Praxis: Anwendung der 2D-DCT für 8 x 8 – Blöcke des Bildes.

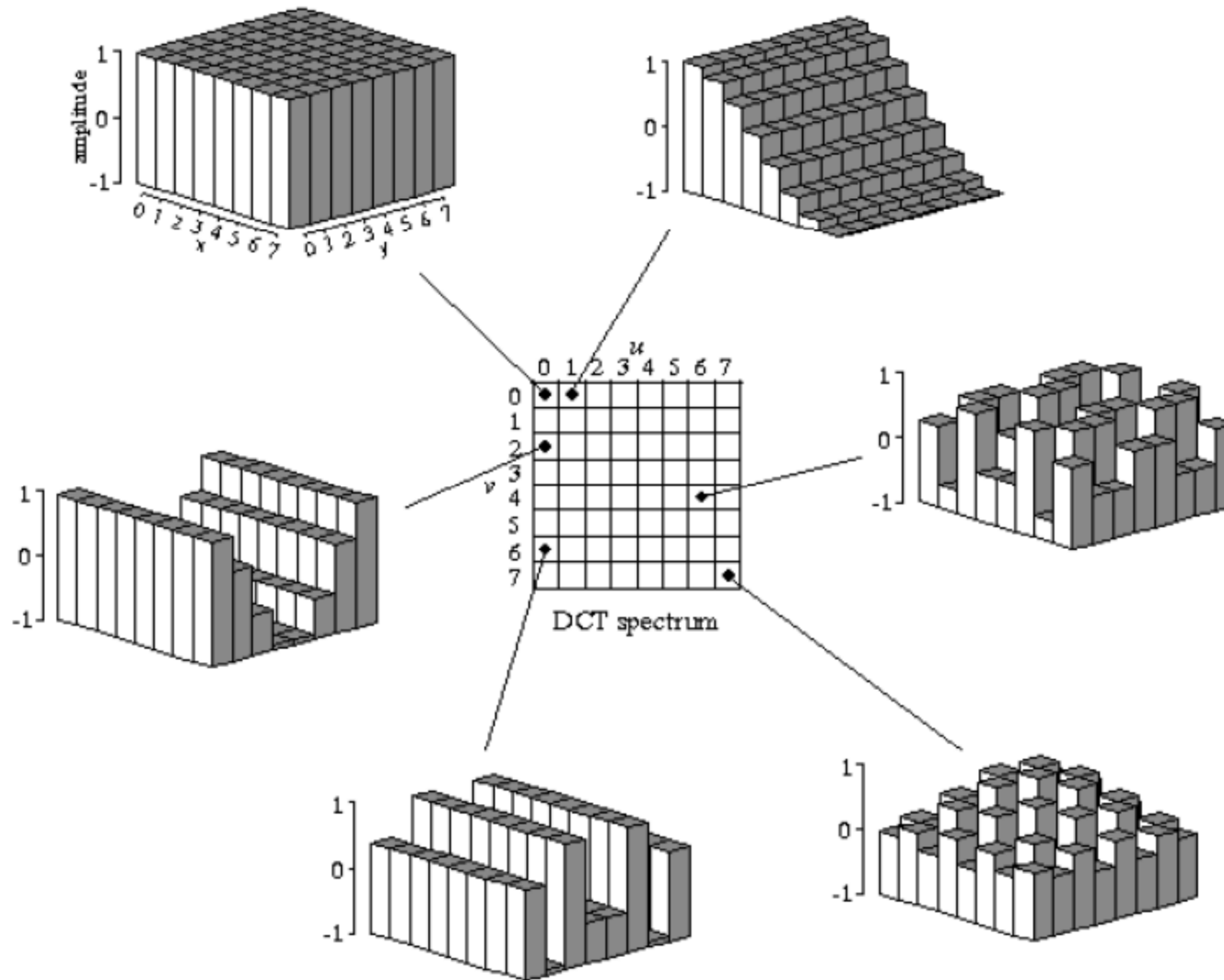
Beispiel für die Anwendung der DCT: JPEG – Kompression



Vergrößerung JPEG – komprimierter Bilder

oben: Original
Mitte, unten: komprimiert auf 1,6% (60:1)
(deutlich sind die 8 x 8 Pixelblöcke zu erkennen)

Beispiele für cosinustransformierte Pixelblöcke



9.2 JPEG / MPEG

JPEG - Joint Photographic**s E**xpert **G**roup: Standbildkompression

MPEG - Movie **P**icture **E**xpert **G**roup: Bewegtbildkompression

Joint Photographic Experts Group: Verband der Fotografiefachleute

JPEG ist außerdem eine gebräuchliche Bezeichnung für die Normen ISO/IEC und CCITT Recommendation T.81, welche von JPEG entwickelt wurde und verschiedene Normen der Bildkompression beschreibt.

Typische Vorgehensweise bei der JPEG-Kompression (kann innerhalb der durch die Normen vorgegeben Freiräume zwischen Hard und Softwareherstellern differieren)

1. Änderung des Farbmodells RGB → YUV und erste Stufe der Datenreduktion
2. Zerlegung des Bildes in 8x8-Blöcke, ggf. Differenzbildcodierung
3. DCT-Transformation der Blöcke
4. Gewichtung und Quantisierung der DCT-Koeffizienten (Irrelevanzreduktion → höherfrequente Koeffizienten werden geringer gewichtet)
5. Eindimensionale Aneinanderreihung der Koeffizienten mit zunehmender Frequenz
6. Lauflängencodierung (RLC)
7. Huffman-Codierung oder Arithmetische Codierung des RLC-Codes (letztere ist in der Norm vorgesehen, wird aber praktisch so gut wie nicht angewendet)

32 von 38

9.3 JPEG / MPEG: Ablauf JPEG-Codierung

1. Änderung des Farbmodells und Datenreduktion

Änderung des Farbmodells

RGB – Modell → YUV-Modell

Y – Luminanz; U, V Chrominanz (Farbdifferenzsignale)

a) menschliches Auge kann Helligkeitsunterschiede besser auflösen als Farbunterschiede

b) Helligkeits- und Farbinformationen voneinander unabhängig verarbeiten

$$\begin{array}{l} |Y| = \quad | 0,3 \quad 0,59 \quad 0,11 | \\ |U| = \quad | -0,17 \quad -0,33 \quad 0,5 | \quad * \\ |V| = \quad | 0,5 \quad -0,42 \quad -0,08 | \end{array} \quad \begin{array}{l} |R| \\ |G| \\ |B| \end{array}$$

Reduktion

statt Y : U : V = 4 : 4 : 4 4 : 2 : 2 (bzw. 4 : 1 : 1)

JPEG / MPEG: Ablauf JPEG-Codierung / Forts.

2. Zerlegung des Bildes bzw. der YUV-Teilbilder in 8 x 8 – Blöcke (Subsampling)

Hinweis: Bei JPEG erfolgt häufig zunächst noch eine Differenzbildcodierung jeweils benachbarter Blöcke (→ Interframe-DCT), was mit einer weiteren deutlichen Datenreduktion verbunden ist; in diesem Falle beziehen sich die folgenden Schritte jeweils auf diese “Differenz-Blöcke”

3. Diskrete Cosinus - Transformation

DCT für Blöcke der Größe $N \times N$ mit den Pixelkoordinaten $x, y = 0 \dots N-1$ und diskreten Frequenzindizes $u, v = 0 \dots N-1$

$$\mathbf{2D-DCT} \quad F(u, v) = \frac{2 \cdot C(u) \cdot C(v)}{N} \sum_{x=0}^{N-1} \sum_{y=0}^{N-1} f(x, y) \cdot \cos \frac{(2x+1)u\pi}{2 \cdot N} \cdot \cos \frac{(2y+1)v\pi}{2 \cdot N}$$

$$\mathbf{2D-IDCT} \quad f(x, y) = \frac{2}{N} \sum_{u=0}^{N-1} \sum_{v=0}^{N-1} C(u) \cdot C(v) \cdot F(u, v) \cdot \cos \frac{(2x+1)u\pi}{2 \cdot N} \cdot \cos \frac{(2y+1)v\pi}{2 \cdot N}$$

mit $C_u, C_v = \frac{1}{\sqrt{2}}$ für $u, v = 0$ und $C_u, C_v = 1$ für $u, v = 1 \dots N-1$

JPEG / MPEG: Ablauf JPEG-Codierung / Forts.

3. Diskrete Cosinus – Transformation / Forts.

speziell für die Blockgröße 8 x 8 (übliche Größe)

$$\text{2D-DCT} \quad F(u, v) = \frac{1}{4} C(u) \cdot C(v) \sum_{x=0}^7 \sum_{y=0}^7 f(x, y) \cdot \cos \frac{(2x+1)u\pi}{16} \cdot \cos \frac{(2y+1)v\pi}{16}$$

$$\text{2D-IDCT} \quad f(x, y) = \frac{1}{4} \sum_{u=0}^7 \sum_{v=0}^7 C(u) \cdot C(v) \cdot F(u, v) \cdot \cos \frac{(2x+1)u\pi}{16} \cdot \cos \frac{(2y+1)v\pi}{16}$$

und für die Größe 4 x 4 (z. B. für Testzwecke)

$$\text{2D-DCT} \quad F(u, v) = \frac{1}{2} C(u) \cdot C(v) \sum_{x=0}^3 \sum_{y=0}^3 f(x, y) \cdot \cos \frac{(2x+1)u\pi}{8} \cdot \cos \frac{(2y+1)v\pi}{8}$$

$$\text{2D-IDCT} \quad f(x, y) = \frac{1}{2} \sum_{u=0}^3 \sum_{v=0}^3 C(u) \cdot C(v) \cdot F(u, v) \cdot \cos \frac{(2x+1)u\pi}{8} \cdot \cos \frac{(2y+1)v\pi}{8}$$

JPEG / MPEG: Ablauf JPEG-Codierung / Forts.

3. DCT

4. Gewichtung und Quantisierung der DCT-Koeffizienten (dargestellt an einem 4 x 4-Block)

| | | | |
|-----|-----|-----|-----|
| 110 | 112 | 109 | 111 |
| 106 | 105 | 107 | 107 |
| 98 | 97 | 97 | 95 |
| 92 | 90 | 94 | 91 |

Transformation →

| | | | |
|-------|------|------|------|
| 405,3 | 0,2 | -0,2 | 1,3 |
| 29,6 | -0,5 | 0,6 | -3,3 |
| -0,7 | -0,5 | -0,3 | -0,6 |
| -2,3 | 2,2 | -0,5 | -1,5 |

DCT-Koeffizienten

↓ Quantisierung (Aufrunden auf ganzz. Werte)

| | | | |
|-----|-----|-----|-----|
| 1 | 1 | 0,9 | 0,8 |
| 1 | 0,9 | 0,8 | 0,7 |
| 0,9 | 0,8 | 0,7 | 0,6 |
| 0,8 | 0,7 | 0,6 | 0,5 |

→

| | | | |
|-----|---|---|----|
| 405 | 0 | 0 | 1 |
| 30 | 0 | 0 | -2 |
| 0 | 0 | 0 | 0 |
| -2 | 2 | 0 | 0 |

→ RLC-Codierung

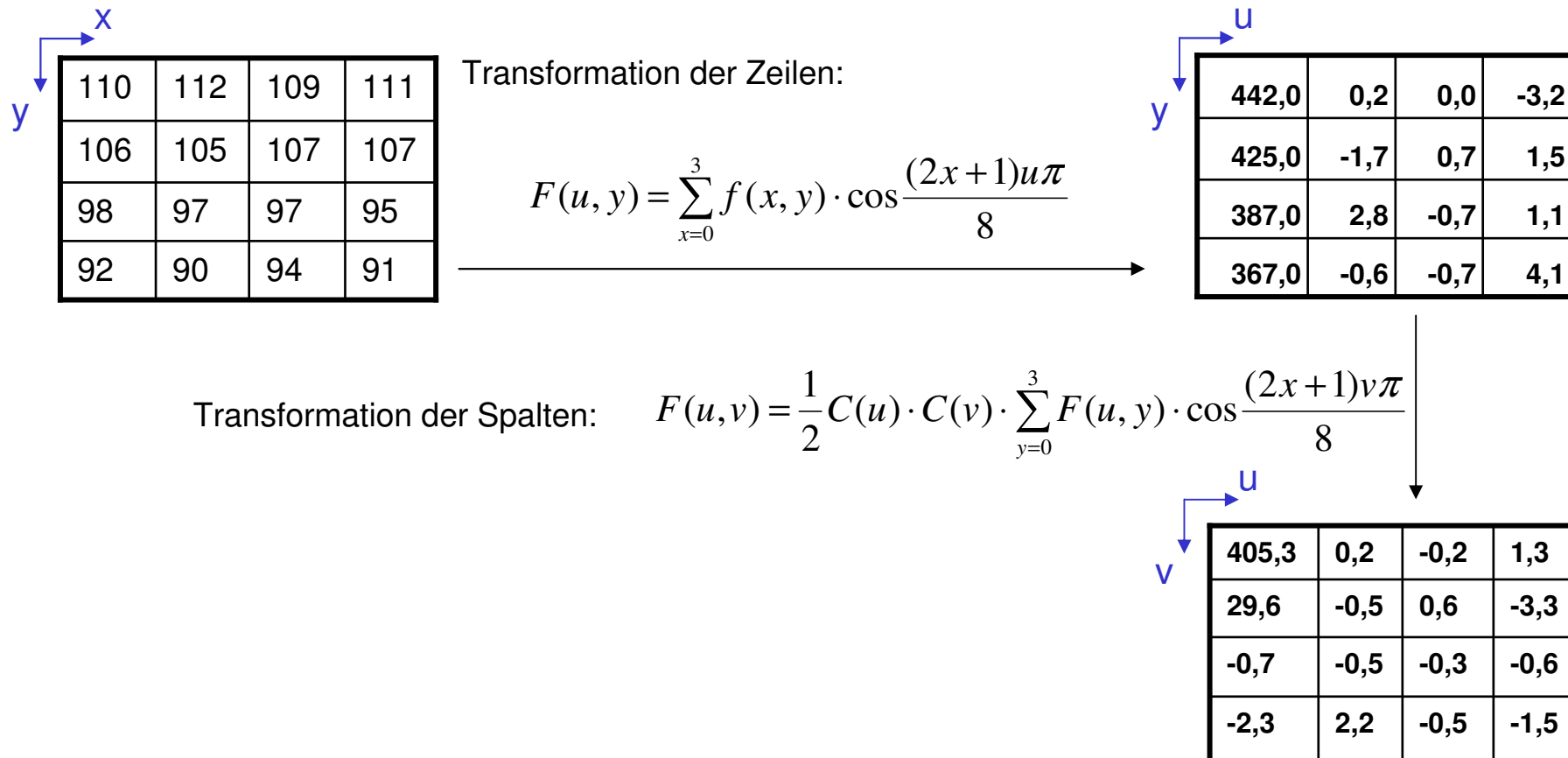
Gewichtungsmatrix

Gewichtete DCT-Koeffizienten

JPEG / MPEG: Ablauf JPEG-Codierung / Forts.

Ergänzung zur DCT

Wegen der Separierbarkeit der DCT, kann diese, wie die DFT auch (siehe Vorlesungskomplex globale Operatoren) ebenfalls zeilen- und anschließend spaltenweise (oder umgekehrt) durchgeführt werden, nachfolgend dargestellt am Beispiel von Seite 37:



JPEG / MPEG: Ablauf JPEG-Codierung / Forts.

5. Eindimensionale Aneinanderreihung der gewichteten DCT-Koeffizienten
6. RLC-Codierung der Koeffizienten

| | | | |
|-----|---|---|----|
| 405 | 0 | 0 | 1 |
| 30 | 0 | 0 | -2 |
| 0 | 0 | 0 | 0 |
| -2 | 0 | 0 | 0 |

Eindimensionale Aneinanderreihung der gewichteten DCT-Koeffizienten durch Beschreiben eines „Zick-Zack“-Kurses, beginnend bei den kleinsten Frequenzen, aufsteigend zu höheren Frequenzen hin

405 0 30 0 0 0 1 0 0 -2 2 0 -2 0 0 0

RLC-Codierung, z. B.: Gleichanteil, (Anzahl Nullen, nächste von 0 verschiedene Zahl, mehrere am Ende stehende Nullen werden mit dem Code für EOB abgekürzt)

405 (1,30) (3,1) (2,-2) (0,2) 1,-2 EOB

7. Huffman-Codierung der RLC-Koeffizienten